

CS 108

## 合成構造における鋼管、H形鋼のコンクリートとの付着特性

川崎製鉄㈱ 正員 佐藤 政勝  
 ノーノ田中祐人

## 1.はじめに

コンクリートに埋め込まれた鋼材の付着強度は、周囲コンクリートとの粘着力および摩擦力とからなる。これらの粘着力と摩擦力は鋼材そのものの表面粗度に左右されるが、コンクリートで囲まれた拘束効果による影響が支配的であると考えられている。コンクリートに埋め込まれた鋼板の付着特性については若林の一連の実験研究により定性的に把握される一方、側圧力下における押抜き試験を実施した著者らの研究や引き抜き試験を実施した園田らの実験研究から鋼板の摩擦係数として0.75～0.6が提案される等ほぼ解明されているが、形鋼や鋼管の付着特性については形状、寸法、コンクリートの充填や被覆状態等付着強度に及ぼす要因が多く、定量的な評価式の提案までに至っていない。

ここでは、鋼管とH形鋼の押抜き試験により、鋼管内面およびH形鋼の最大付着強度  $\tau_{max}$  はコンクリート接触面積  $A_b$  に大きく左右されることを明らかにした上で、かぶり厚さ  $C$  とフランジ幅  $B$  の比をパラメータとしたH形鋼の  $\tau_{max}$  の評価式を提案し、埋め込まれたH形鋼の付着強度に及ぼすコンクリートの拘束効果について考察する。

## 2. 鋼管とH形鋼の押抜き試験

鋼管とH形鋼について押抜き試験を実施し、付着強度と自由端の滑り量  $\delta_f$  の関係および  $\tau_{max}$  を求めた。鋼管の供試体寸法と  $\tau_{max}$  を表1に、H形鋼の供試体寸法と  $\tau_{max}$  を表2に示し、両者の  $\tau_{max}$  と  $A_b$  の関係を図1に示す。

鋼管の押抜き試験では、載荷初期の段階で  $\delta_f$  が生じ、荷重の増加に伴い  $\delta_f$  が放物線的に漸増し  $\tau_{max}$  に達する。この挙動はコンクリートの乾燥収縮により鋼管内面とコンクリートの界面に生じた若干の隙間によるものと推察される。図1に示すように、 $A_b$  の増加に伴い  $\tau_{max}$  は減少する傾向がみられ、28日目圧縮強度  $\sigma_B$  が  $342 \text{ kgf/cm}^2$  のコンクリートを使用した場合  $\phi 269 \text{ mm}$  に対し  $8.1 \text{ kgf/cm}^2$ 、 $\phi 609.6 \text{ mm}$  に対し  $3.9 \text{ kgf/cm}^2$  であって、 $\tau_{max}$  の  $1/3$  を許容応力度  $\tau_a$  の目安とするとそれぞれ  $2.7 \text{ kgf/cm}^2$ 、 $1.3 \text{ kgf/cm}^2$  となり現行建築学会規準 [1]  $\tau_a = 1.5 \text{ kgf/cm}^2$  は小径管については問題ないが、 $\phi 600 \text{ mm}$  以上の鋼管に対しては実験から求めた許容値より若干であるが危険側の値を示した。今後  $\tau_a$  の設定値としては  $1.2 \text{ kgf/cm}^2$  程が目安となる。

H形鋼の押抜き試験においても同様に  $A_b$  が増加すると  $\tau_{max}$  が減少する傾向が確認され、小形サイズの  $\tau_{max}$  は  $9 \text{ kgf/cm}^2$  程、大型のものは  $2.6 \text{ kgf/cm}^2$

表1 鋼管の供試体寸法と最大付着強度

TP No.	鋼管 (STK400)			最大付着強度	
	外径 mm	板厚 mm	接触面積 $A_b: \text{cm}^2$	荷重 tonf	$P/A_b$ $\text{kgf/cm}^2$
	mm	mm	$A_b: \text{cm}^2$	tonf	$\text{kgf/cm}^2$
1	609.6	9	5573	21.8	3.9
2	269.0	6	2421	19.7	8.1

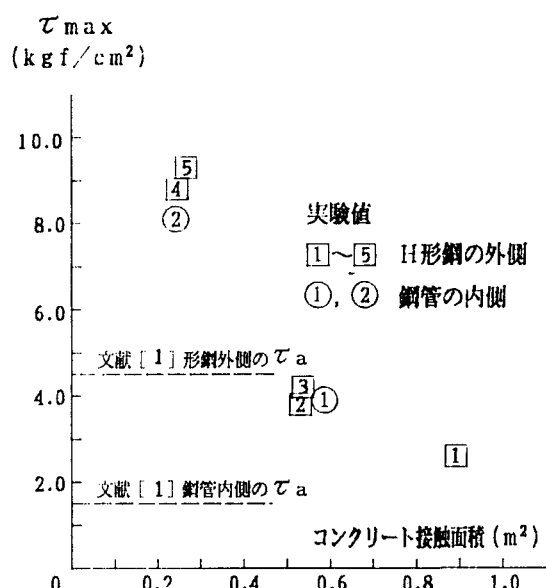
図1 H形鋼、鋼管の  $\tau_{max}$  とコンクリート接触面積の関係

表2 H形鋼の押抜き試験における供試体寸法と最大付着強度

TP No	被覆コンクリート			押し込みH形鋼(SS400)			最大付着強度		
	外寸法 mm	C mm	$\sigma_B$ kgf/cm <sup>2</sup>	HXBt1xt2 mm	C B	接触面積 $A_b:cm^2$	荷重 P tonf	$P/A_b$ kgf/cm <sup>2</sup>	$\tau_{max}$ %
									$\sigma_B$
1	1100X450	75	300	900x300x16x28	0.25	8910	23.5	2.6	0.9
2	650X300	50	300	496x200x9x14	0.25	5310	20.4	3.8	1.3
3	450X450	75	300	300x300x15x15	0.25	5370	22.6	4.2	1.4
4	300X300	75	362	194x150x6x9	0.50	2445	21.5	8.8	2.4
5	300X300	75	362	150x150x7x10	0.50	2658	24.8	9.3	2.6

であって  $\tau_{max}$  の 1/3 を  $\tau_a$  の目安とするとそれぞれ 3 kgf/cm<sup>2</sup>、0.9 kgf/cm<sup>2</sup> となり、建築学会規準 [1] の 4.5 kgf/cm<sup>2</sup> は相当危険側の値である。また、土木学会コンクリート標準示方書に準じると  $\sigma_B = 342 \text{ kgf/cm}^2$  に対する形鋼の付着強度の特性値として求まる 8.6 kgf/cm<sup>2</sup> は、中形、小形サイズ H 形鋼の実験値に比べてそれぞれ 2 倍、3 倍も高い値であって、今後より多くの実験データを蓄積した上で付着強度の特性値および  $\tau_a$  を検討する必要がある。

### 3. H 形鋼の付着強度に対する評価式

図 2 には、縦軸に  $\tau_{max}/\sigma_B$  を、C/B を横軸に取り、H 形鋼の押抜き試験の結果を記号 □、Chaples の押抜き試験の結果を ● で示す。破線で示す鋼板の  $\tau_{max}$  に対する若林らの提案式 [2] を原点を通るように平行移動させた実線は実験値とほぼ等しい傾向を示しており、H 形鋼の  $\tau_{max}$  の評価式として次式を得る。

$$\tau_{max}/\sigma_B = 0.05 \cdot C/B \quad (C/B < 0.8) \quad (1)$$

$$\tau_{max}/\sigma_B = 0.04 \quad (C/B \geq 0.8) \quad (2)$$

かぶりが零ではフランジ側面に付着力が働くかないから  $\tau_{max}$  も零となり、かぶりがある場合では鋼材の粘着力は無視できる程小さく、C/B に依存する摩擦力と  $\sigma_B$  により  $\tau_{max}$  が算定できる。SC や SRC 構造では実用的な立場から C/B は 0.2~0.5 の範囲と予想され  $\tau_{max}$  としては 0.01~0.025  $\sigma_B$ 、また  $\tau_{max}$  の 1/3 を  $\tau_a$  の目安とすると  $\tau_a = 0.003 \sim 0.008 \sigma_B$  程となり、現行建築学会規準 [1] の  $\tau_a = 0.02 \sigma_B$  は相当危険な値である。

鋼板の側面圧力  $\sigma_3$  を一定に保ちながらの押抜き試験から提案された  $\tau_{max} = 0.75 \sigma_3$  を採用すると式(1)からフランジとウェブに働く  $\sigma_3$  が次式で推定できる。(図 3 参照)

$$\sigma_3 = (\sigma_B/15) \cdot (C/B) \quad (3)$$

また、 $\sigma_3$  の働きによってフランジ端面のかぶり部コンクリートに次式で示す引張応力  $\sigma_t$  が生じることになる。

$$\sigma_t = (\sigma_3/2) \cdot (1+B/C) \quad (4)$$

### 参考文献

1) 日本建築学会：鉄骨鉄筋コンクリート構造計算規準・同解説(第4版)、1987. 6

2) 若林実：鉄骨鉄筋コンクリートに関する実験的研究、東大生産技術研究所報告、Vol. 6, No. 2, pp. 66~72, 1956

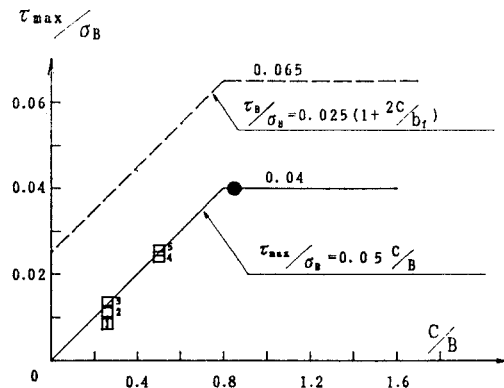
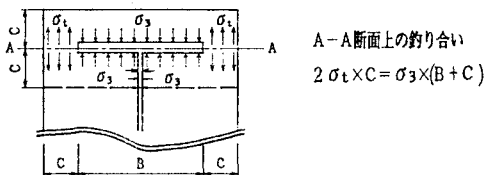


図 2 H 形鋼の最大付着強度と C/B の関係

図 3 側圧力  $\sigma_3$  とかぶりに働く  $\sigma_t$  のモデル化